

04; 12

© 1990

ОПРЕДЕЛЕНИЕ ВРЕМЕНИ ЖИЗНИ
ЗАРЯЖЕННЫХ ЧАСТИЦ В ТОКАМАКЕ ПРИ ПОМОЩИ
ПЕРИОДИЧЕСКОЙ МОДУЛЯЦИИ ПОТОКА ГАЗА

Л.Г. А с к и н а з и, С.В. Л е б е д е в,
С.П. Я р о ш е в и ч

Одним из важных параметров высокотемпературной плазмы термоядерных установок является т.н. время жизни заряженных частиц (электронов и ионов) τ_p^* . Оно характеризует потери частиц из плазмы в соответствии с уравнением

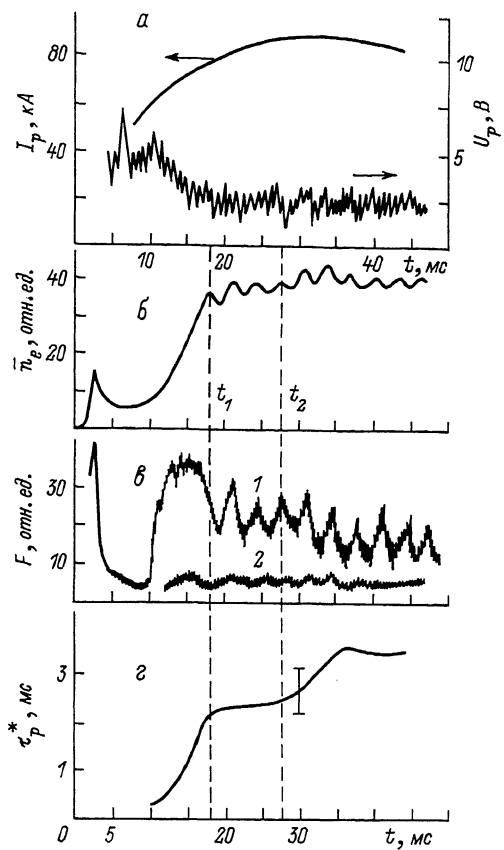
$$\frac{dN}{dt} = - \frac{N}{\tau_p} + R \frac{N}{\tau_p} + F. \quad (1)$$

Здесь $N = \bar{n}_e V$ – число частиц, \bar{n}_e – средняя плотность плазмы, V – объем плазмы, R – коэффициент рециклинга, F – источник частиц, возникающий в результате ионизации атомов газа, поступающего в установку через систему газонапуска. Второе слагаемое в правой части (1) представляет собой источник частиц, возникающий в результате ионизации атомов рабочего газа, десорбированных со стенок вакуумной камеры, и пропорциональный потоку частиц, падающему из плазмы на стенку. Вклад в источник от ионизации атомов примеси, десорбированных со стенок, обычно мал и не учитывается в уравнении (1). Первые два слагаемых в правой части (1) обычно объединяют в виде

$$- \frac{N}{\tau_p} + R \frac{N}{\tau_p} = - \frac{N}{\tau_p^*}, \quad (2)$$

где $\tau_p^* = \frac{\tau_p}{1-R}$ – эффективное время жизни частиц, учитывающее взаимодействие плазмы со стенкой.

Для определения времени жизни частиц можно использовать зондовые измерения в пристеночной плазме [1], позволяющие определить поток заряженных частиц, падающих на стенку из плазмы. Другой метод состоит в вычислении времени жизни из уравнений (1)–(2), для чего необходимо измерить N , $\frac{dN}{dt}$ и F . Наибольшие трудности связаны с определением источника F . Обычно для этого применяют расходомеры, измеряющие количество рабочего газа, поступающего через клапан в камеру в единицу времени. Чаще, однако, определяют величину $(F + \frac{N}{\tau_p} R)$, для чего используют измерения интенсивности свечения линии H_α (в дейтерии-



а - ток плазмы I_p и напряжение на обходе U_p , б - среднекордовая концентрация \bar{n}_e , в - сигналы с датчиков интенсивности свечения линии D_α в сечении газонапуска (кривая 1) и в удалённом от него патрубке (кривая 2), г - время жизни частиц τ_p^*

вой плазме - D_α) в непосредственной близости к патрубку, через который производится газонапуск. Как известно [2], интенсивность линий H_α (D_α) с высокой точностью пропорциональна скорости ионизации нейтралей при электронной температуре выше 10 эВ. Коэффициент пропорциональности α между выходным сигналом оптического датчика U и источником F ($F = \alpha U$) зависит как от атомарных констант и параметров плазмы, так и от формы и размеров области, в которой происходит ионизация атомов напускаемого газа. С последним обстоятельством и связаны трудности непосредственного вычисления α .

В данной заметке предлагается простой метод определения времени жизни частиц τ_p^* . Фактически описываемая методика является упрощённой модификацией предложенного в [3, 4] способа

определения транспортных коэффициентов в плазме посредством модуляции потока газа из клапана газонапуска.

При определенных условиях в системе газонапуска токамака ТУМАН-3 могут возникать периодические колебания с периодом ~ 3 мс. Эти колебания проявляются в вибрации пьезокристаллической пластины напускного клапана под воздействием системы обратной связи, поддерживающей концентрацию плазмы на заданном уровне, и наблюдаются как на сигнале интенсивности линии D_α , так и на хордовых сигналах СВЧ-интерферометра (см. рисунок). Видно, что на промежутке времени $[t_1, t_2]$ сигналы $U(t)$ и $N(t)$ могут быть приближенно описаны синусоидальной зависимостью от времени:

$$U(t) = U_0 + U_1 \cos(\omega t + \varphi_1), \quad (3)$$

$$N(t) = N_0 + N_1 \cos(\omega t + \varphi_2),$$

где $\omega = \frac{2\pi}{T}$, $T \approx 3$ мс, а U_0, U_1, N_0, N_1 — медленноМеняющиеся (по сравнению с ω) функции. Поскольку относительная амплитуда возмущения концентрации невелика ($N_1/N_0 \leq 5\%$), можно считать $\tau_p^* \approx \text{const}$. Подставив зависимости (3) в уравнение глобального баланса частиц (1), с использованием (2) и полагая $\alpha = \text{const}$, $\tau_p^* = \text{const}$, можно легко связать время жизни частиц τ_p^* и калибровочный коэффициент α со сдвигом фаз $\varphi = \varphi_1 - \varphi_2$ между колебаниями и $U(t)$ или с относительными амплитудами этих колебаний:

$$\tau_p^* = -\frac{1}{\omega} \operatorname{tg} \varphi = \frac{1}{\omega} \sqrt{\frac{(U_1/U_0)^2}{(N_1/N_0)^2} - 1}, \quad (4)$$

$$\alpha = \frac{N_0}{F_0} \cdot \frac{1}{\tau_p^*}.$$

Вычисленное таким образом эффективное время жизни частиц τ_p^* , разумеется, характеризует удержание плазмы только на „калибровочном“ интервале $[t_1, t_2]$. Однако, предположив постоянство во времени коэффициента α (что представляется справедливым в течение всего разряда, исключая, возможно, начальную стадию формирования шнура), можно определить временную зависимость величины τ_p^* :

$$\tau_p^*(t) = \frac{N(t)}{\alpha U(t) - \frac{dN(t)}{dt}}. \quad (5)$$

Описываемые измерения проводились в дейтериевой плазме со следующими параметрами (см. также рисунок): ток по плазме $I_p = 95$ кА, напряжение на обходе $U_p \approx 2.5$ В, магнитное поле

$B \approx 4.5$ кГс, средняя плотность по центральной хорде $\bar{n}_e \approx 1.4 \times 10^{13}$ см⁻³, электронная температура в центре шнуря $T_e(0) \approx \approx 450$ эВ. В качестве калибровочного промежутка времени использовался интервал с $t_1 = 17.5$ мс по $t_2 = 27.5$ мс. Определенные на этом промежутке по формулам (4) величины τ_{po}^* и α оказались равными $\tau_{po}^* = 2.35$ мс и $\alpha = 0.76$ мс⁻¹. Вычисленная по формуле (5) временная зависимость $\tau_p^*(t)$ приведена на рисунке. Видно, что на протяжении калибровочного интервала $\tau_p^* \approx \text{const} = \tau_{po}^*$, что свидетельствует о внутренней непротиворечивости метода.

Таким образом, предложенный метод позволяет измерить важный параметр термоядерной плазмы – время жизни заряженных частиц. В принципе, аналогичным образом, используя измерения интенсивности линии D_α в удаленном от патрубка газонапуска сечении (см. рисунок, кривая 2), можно определить и коэффициент рециклинга R . Однако этот сигнал гораздо слабее и носит менее регулярный характер, чем светимость линии D_α в непосредственной близости к клапану, что сильно снижает точность определения R .

Список литературы

- [1] Matsumoto H., Kimura H., Sengoku S. et al. // Nucl. Fusion. 1982. V. 22. P. 840–843.
- [2] Johnson L.C., Hinnoov E. // J. of Quant. Spectrosc. and Radiat. Transfer. 1973. V. 13. P. 333–358.
- [3] Bogdasarov A.A., Vasin N.L., Vershkov V.A. et al. Proc. 10-th Int. Conf. on Plasma Phys. and Contr. Nucl. Fusion. Res. London, 1984. V. 1. P. 181–192.
- [4] Gentle K.W., Richards B., Waelbroeck F. Proc. 13-th Eur. Conf. of Contr. Fusion and Plasma Phys. Schliersee, 1985. V. 10c. Part 1. P. 244–247.

Физико-технический
институт им. А.Ф. Иоффе
АН СССР, Ленинград

Поступило в Редакцию
19 марта 1990 г.